

## IMU 应用讲解 (第二期)

唐宝芳 李文涛 肖斯凯

2020 年 12 月 3 日

# 主要内容

1 IMU 确定性误差模型及标定

2 IMU 随机误差模型及标定

# IMU 应用讲解目录

- 第一期: 旋转运动学; IMU 测量模型
- 第二期: IMU 误差模型; IMU 标定
- 第三期: 预积分 (上)
- 第四期: 预积分 (下)

# IMU 误差分类

- 加速度计和陀螺仪的误差可以分为:确定性误差和随机误差.
- 确定性误差可以事先通过标定确定, 包括:bias,scale,misalignment...
- 随机误差通常假设噪声服从高斯分布, 包括: 高斯白噪声,bias 随机游走...

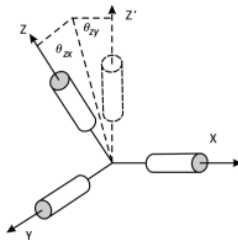
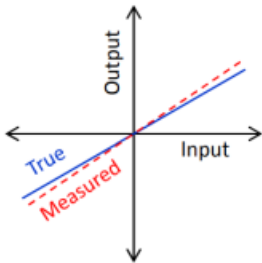
# 确定性误差分类

- ① Bias 理论上, 当没有外界作用时, IMU 的输出应该为 0. 但是, 实际数据存在一个偏置  $b$ , 加速度计 bias 对位姿估计的影响:

$$v_{err} = b^a t, \quad p_{err} = \frac{1}{2} b^a t^2 \quad (1)$$

- ② Scale scale 可以看成是理论数值和输出值之间的比值, 如下图所示.

- ③ Misalignment/Nonorthogonality Errors 多轴 IMU 传感器制作的时候, 由于制作工艺的问题, 会使得 xyz 轴可能不垂直, 如下图所示.



## 确定性误差标定 (六面法)

六面法: 将加速度计的 3 个轴分别朝上或朝下水平放置一段时间, 采集 6 个面的数据完成标定.

- ① 如果各个轴是正交的, 那么很容易得到 bias 和 scale:

$$\begin{aligned} b &= \frac{l_z^{up} + l_z^{down}}{2} \\ s &= \frac{l_z^{up} - l_z^{down}}{2 \cdot ||g||} \end{aligned} \quad (2)$$

其中,  $l$  为加速度计某个轴的测量值,  $g$  为当地的重力加速度.

## 确定性误差标定 (六面法)

② 考虑轴间误差的时候, 实际加速度和测量值之间的关系为:

$$\begin{bmatrix} l_{ax} \\ l_{ay} \\ l_{az} \end{bmatrix} = \begin{bmatrix} b_{ax} \\ b_{ay} \\ b_{az} \end{bmatrix} + \begin{bmatrix} s_{xx} & m_{xy} & m_{xz} \\ m_{yx} & s_{yy} & m_{yz} \\ m_{zx} & m_{zy} & s_{zz} \end{bmatrix} \cdot \begin{bmatrix} a_x \\ a_y \\ a_z \end{bmatrix} \quad (3)$$

水平静止放置 6 面的时候, 加速度的理论值为:

$$a1 = \begin{bmatrix} g \\ 0 \\ 0 \end{bmatrix}, a2 = \begin{bmatrix} -g \\ 0 \\ 0 \end{bmatrix}, a3 = \begin{bmatrix} 0 \\ g \\ 0 \end{bmatrix}, a4 = \begin{bmatrix} 0 \\ -g \\ 0 \end{bmatrix}, a5 = \begin{bmatrix} 0 \\ 0 \\ g \end{bmatrix}, a6 = \begin{bmatrix} 0 \\ 0 \\ -g \end{bmatrix} \quad (4)$$

其中,  $l$  为加速度计某个轴的测量值,  $g$  为当地的重力加速度.

对应的测量值矩阵  $L$ :

$$L = [I_1, I_2, I_3, I_4, I_5, I_6] \quad (5)$$

利用最小二乘就能够把 12 个变量求出来.

# 确定性误差标定 (六面法)

六面法标定陀螺的 bias, scale 和 misalignment.

- 和加速度计六面法不同的是, 陀螺仪的真实值由高精度转台提供, 这里的 6 面是指各个轴顺时针和逆时针旋转.





# IMU 确定性误差标定 (不依托额外设备法)

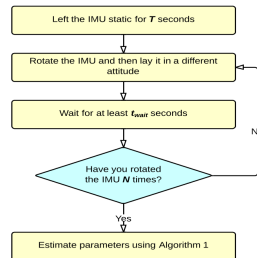
- 参考论文: [A Robust and Easy to Implement Method for IMU Calibration without External Equipments](#)
- DEMO 链接: [https://bitbucket.org/alberto\\_pretto/imu\\_tk](https://bitbucket.org/alberto_pretto/imu_tk)



# IMU 确定性误差标定 (不依托额外设备法)

IMU 数据录制步骤:

- ① Left the IMU static for 50 seconds.
- ② Rotate the IMU and then lay it in a different attitude.
- ③ Wait for at least 1 seconds.
- ④ Have you rotated the IMU 36 - 50 times? If not, go back to step 2.
- ⑤ Done.



## IMU 确定性误差标定 (不依托额外设备法)

(IG1) 加速度计确定性误差标定结果:

Misalignment matrix:

1	0.000216415	-0.000907317	
0		1	-0.000415176
-0		0	1

Scale matrix:

0.998844	0	0
0	0.998912	0
0	0	0.998909

Bias vector:

0.00755047  
-0.038109  
-0.0122145

(IG1) 陀螺仪确定性误差标定结果:

Misalignment matrix:

1	-0.0534044	-0.0105652
0.0267086		1
0.0177619	-0.0324614	1

Scale matrix:

0.983548	0	0
0	1.02306	0
0	0	1.00226

Bias vector:

2.93412e-05  
-0.000137077  
0.000157532

# IMU 随机误差分类

- ① **高斯白噪声** IMU 数据连续时间上受到一个均值为 0, 方差为  $\sigma$ , 各时刻之间相互独立的高斯过程  $n(t)$ :

$$\begin{aligned} E[n(t)] &= 0 \\ E[n(t_1)n(t_2)] &= \sigma^2 \delta(t_1 - t_2) \end{aligned} \quad (6)$$

其中,  $\delta()$  表示狄拉克函数.

- ② **Bias 随机游走** 通常用维纳过程 (wiener process) 来建模 bias 随时间连续变化的过程, 离散时间下称之为随机游走.

$$\dot{b}(t) = n_b(t) = \sigma_b w(t) \quad (7)$$

其中,  $w$  是方差为 1 的白噪声.

问题: 实际上, IMU 传感器产生的原始数据是连续的, 而输出数据是离散的, 离散和连续高斯白噪声存在何种关系?

# 高斯白噪声的离散化

只考虑高斯白噪声的积分

$$n_d[k] \triangleq n(t_0 + \Delta t) \simeq \frac{1}{\Delta t} \int_{t_0}^{t_0 + \Delta t} n(t) dt \quad (8)$$

协方差为:

$$\begin{aligned}
 E(n_d^2[k]) &= E\left(\frac{1}{\Delta t^2} \int_{t_0}^{t_0 + \Delta t} \int_{t_0}^{t_0 + \Delta t} n(\tau) n(t) d\tau dt\right) \\
 &= \frac{1}{\Delta t^2} \int_{t_0}^{t_0 + \Delta t} \int_{t_0}^{t_0 + \Delta t} E(n(\tau) n(t)) d\tau dt \\
 &= \frac{\sigma^2}{\Delta t^2} \int_{t_0}^{t_0 + \Delta t} \int_{t_0}^{t_0 + \Delta t} \delta(t - \tau) d\tau dt \\
 &= \frac{\sigma^2}{\Delta t}
 \end{aligned} \quad (9)$$

# 高斯白噪声的离散化

即:

$$n_d[k] = \sigma w[k] \quad (10)$$

其中,

$$\begin{aligned} w[k] &\sim N(0, 1) \\ \sigma_d &= \sigma \frac{1}{\Delta t} \end{aligned} \quad (11)$$

也就是说高斯白噪声的连续时间表示到离散时间表示相差一个  $\frac{1}{\Delta t}, \sqrt{\Delta t}$  是传感器的采样时间.

## bias 随机游走的离散化

提取 bias 积分部分

$$b(t_0 + \Delta t) = b(t_0) + \int_{t_0}^{t_0 + \Delta t} n_b(t) dt \quad (12)$$

由此可得离散化下的 bias 协方差:

$$E\{b^2(t_0 + \Delta t)\} = E\left\{ \left[ b(t_0) + \int_{t_0}^{t_0 + \Delta t} n_b(t) dt \right] \left[ b(t_0) + \int_{t_0}^{t_0 + \Delta t} n_b(\tau) d\tau \right] \right\} \quad (13)$$

由于  $E\{n_b(t)n_b(\tau)\} = \sigma_b^2 \delta(t - \tau)$  有:

$$E\{b^2(t_0 + \Delta t)\} = E\{b^2(t_0)\} + \sigma_b^2 \Delta t \quad (14)$$

# bias 随机游走的离散化

即:

$$b_d[k] = b_d[k-1] + \sigma_{bd}w[k] \quad (15)$$

其中,

$$\begin{aligned} w[k] &\sim N(0, 1) \\ \sigma_{bd} &= \sigma_b \sqrt{\Delta t} \end{aligned} \quad (16)$$

bias 随机游走的噪声方差从连续时间到离散之间需要乘以  $\sqrt{\Delta t}$



# 高斯白噪声的离散化

只考虑高斯白噪声的积分

$$n_d[k] \triangleq n(t_0 + \Delta t) \simeq \frac{1}{\Delta t} \int_{t_0}^{t_0 + \Delta t} n(t) dt \quad (17)$$

协方差为:

$$\begin{aligned} E(n_d^2[k]) &= E\left(\frac{1}{\Delta t^2} \int_{t_0}^{t_0 + \Delta t} \int_{t_0}^{t_0 + \Delta t} n(\tau) n(t) d\tau dt\right) \\ &= \frac{1}{\Delta t^2} \int_{t_0}^{t_0 + \Delta t} \int_{t_0}^{t_0 + \Delta t} E(n(\tau) n(t)) d\tau dt \\ &= \frac{\sigma^2}{\Delta t^2} \int_{t_0}^{t_0 + \Delta t} \int_{t_0}^{t_0 + \Delta t} \delta(t - \tau) d\tau dt \\ &= \frac{\sigma^2}{\Delta t} \end{aligned} \quad (18)$$

# IMU 随机误差标定

## ● 参考

- ① An introduction to inertial navigation
- ② Allan Variance: Noise Analysis for Gyroscopes
- ③ DEMO:[https://github.com/gaowenliang/imu\\_utils](https://github.com/gaowenliang/imu_utils)

## ● IMU 数据录制步骤:

- ① 保持 imu 静止不动至少 2 个小时.

## IMU 随机误差标定

(IG1) 加速度计随机性误差标定结果:

```
Gyr:
  unit: " rad/s"
  avg-axis:
    gyr_n: 2.3519241717850545e-04
    gyr_w: 9.5275242645633063e-06
  x-axis:
    gyr_n: 2.3204246400353865e-04
    gyr_w: 8.5516116737001937e-06
  y-axis:
    gyr_n: 2.3628528710049616e-04
    gyr_w: 1.2195936150567697e-05
  z-axis:
    gyr_n: 2.3724950043148158e-04
    gyr_w: 7.8350249694220280e-06
```

(IG1) 陀螺仪随机性误差标定结果:

```
Acc:  -- --
  unit: " m/s^2"
  avg-axis:
    acc_n: 9.0999846507334552e-03
    acc_w: 1.9795086290731590e-04
  x-axis:
    acc_n: 9.1741196108414830e-03
    acc_w: 2.1210965413484255e-04
  y-axis:
    acc_n: 9.5965562298242022e-03
    acc_w: 2.2037104825859265e-04
  z-axis:
    acc_n: 8.5292781115346820e-03
    acc_w: 1.6137188632851253e-04
```

# Reference

- [1] 贺一家, 高翔 IMU 传感器 讲义.
- [2] A Robust and Easy to Implement Method for IMU Calibration without External Equipments.
- [3] An introduction to inertial navigation.
- ...